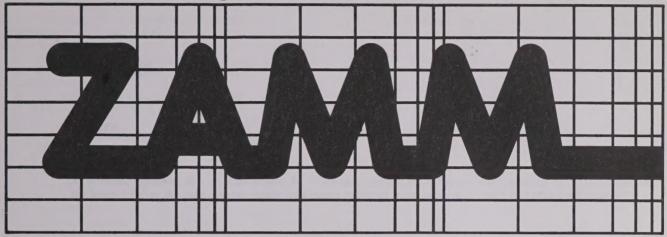
Zeitschrift für Angewandte Mathematik und Mechanik



Applied Mathematics and Mechanics

Volume 70

siebzigster Jahrgang 1990

ZEITSCHRIFT FÜR ANGEWANDTE MATHEMATIK UND MECHANIK

Herausgeber: Institut für Mechanik, Chemnitz. Mit der Herausgabe beauftragt und Chefredakteur: Prof. Dr. Günter Schmidt, Rudower Chaussee 5, O-1199 Berlin, Fernruf: 6745611 oder 6743668 (gleichzeitig Anschrift der Redaktion).

Verlag: Akademie-Verlag Berlin, Leipziger Straße 3–4, PF-Nr. 1233, O-1086 Berlin; Fernruf: 2236221 oder 2236229; Telex-Nr.: 114420; Bank: Berliner Stadtbank AG, Kto.-Nr.: 6651-25-130512.

Amt. Verlagsdirektor: Dr. Bernhard Tesche; Stellv. Cheflektor Zeitschriften: Armin Beck; Redakteur der Abt. Zeitschriften: Marianne

Gesamtherstellung: Druckhaus "Thomas Müntzer" GmbH, O-5820 Bad Langensalza.

Erscheinungsweise: Die Zeitschrift für Angewandte Mathematik und Mechanik erscheint monatlich. Die 12 Hefte eines Jahres einschließlich Tagungshefte bilden einen Band. Bezugspreis je Band 480,- DM vuzüglich Versandspesen. Bezugspreis je Heft

Bestellnummer dieses Bandes: 1009/70.

Urheberrecht: Alle Rechte vorbehalten, insbesondere die der Übersetzung. Kein Teil dieser Zeitschrift darf in irgendeiner Form – durch Fotokopie, Mikrofilm oder irgendein anderes Verfahren – ohne schriftliche Genehmigung des Verlages reproduziert oder in eine von Maschinen, insbesondere von Datenverarbeitungsanlagen verwendbare Sprache übertragen oder übersetzt werden. - All rights reserved (including those of translation into foreign languages). No part of this issue may be reproduced in any form, by photoprint, microfilm or any other means, nor transmitted or translated into a machine language without written permission from the publishers.

1990 by Akademie-Verlag Berlin. Printed in Germany.
 AN (EDV) 35937

Contents

Papers

(M = Minisymposium; MA = Main Article; PL = Plenary Lecture; SC = Short Communication; SL = Short Lecture) The letter T before the page number stands for a paper published in the issues 4, 5, and 6 (GAMM Conference 1989).

	page		page
Abboud, M., Die numerische Untersuchung von Taylor- Wirbeln im Spalt zwischen einem Kegel und einem Zylinder SL	T441	Badur, J., Singular Gauge Transformations in Dynamics of Dislocations and Disclinations SL Bagi, K., see Bojtár, I.	T299
Abdel-Raouf, A. M.; Gretler, W., Quasi-Similar Solu-	211.12	Badur, J., see Stumpf, H.	
tions for Blast Waves with Internal Heat Transfer SL Ackva, J., Lineare periodisch zeitvariante Bewegungsglei-	T419	Bai, Yin; Schild, KH., A Collocation Method for Boundary Value Problems of Differential-Algebraic	
chungen von 1- und 2-flügligen Windturbinen SL Adams, E.; Cordes, D.; Keppler, H., Enclosure Methods as Applied to Linear Periodic ODEs and Matrices MA	T81	Equations SL Bajer, Cz.; Bogacz, R., Dynamic Contact Problem with Friction by the Use of the Space-Time Element Method	T624
Adžić, N., On the Spectral Solution for Boundary Value		SL	T674
Problems SL	T647	Ballmann, J., see Kim, KS.	
Ahanikamangar, M.; Frik, M., Realisierung periodischer Bewegungen von Gehmaschinen mit Hilfe gekoppelter Van der Pol Gleichungen	T146	Ballmann, J., see Kocaaydin, C. S. Ballmann, J., see Schlechtriem, S.	
Ahanikamangar, M., see Frik, M.	1140	Baniotopoulos, C. C., Sea-Bed-Structures Interaction for Optimally Controlled Underwater Cables SL	T270
Ahlbehrendt, N.; Sperling, L., Biorthogonale Entwick- lungen der Verteilungsdichte und ihre Anwendung zur		Bar-Yoseph, P., Solan, A.; Roesner, K. G., Sekundär- strömung in axialsymmetrischen Hohlräumen SL	T442
Analyse stochastischer Systeme. Teil II: Beispiele MA	421	Barth, F. J., J, ein wegunabhängiges Integral beim statio-	
Ahrens, R., Modalanalyse für linear-viskoelastische		nären Rißwachstum SL Bauch, H., Solving Ordinary Initial Value Problems by	T287
Schwinger SL Albrecht, J., Einschließung der Lösung der Integralglei-	T60	Means of T-Intervals SL	T590
chung von Chandrasekhar SL Altenbach, J.; Égort, J.; Páczelt, I., Lösung ebener und	T588	Bauer, H. F., Response of a Viscous Liquid Column to Axial Excitation in Zero-Gravity MA	359
rotationssymmetrischer elastischer Kontaktaufgaben mit Hilfe spezieller finiter Kontaktelemente SL	T671	Becker, I.; Schnack, E., Numerical Calculation of Singularities at Reentrant Edges and Corners for Three Dimen-	
Althaus, J.; Ulbrich, H., Aktives Kammersystem als Stell- element für die Regelung von Rotoren SL	T148	sional Crack Problems SC Becker, W., Dugdale-Risse unter Mixed Mode-Belastung	529
Alujević, A.; Parzer, I., Thermal Efficiency of Extended	1170	bei isotropem und anisotropem Materialverhalten SL	T289
Surfaces SL	T618	Béda, P. B., Bifurcation of a Thrusted and Twisted Prismatic	T102
Alujević, A., see Skerget, P.		Rod SL	T183
Ammon, D.; Klein, W., Numerisch gesicherte Approximation von Leistungsdichtespektren durch vollständige Fil-		Behnke, B., Modell einer durchströmten Labyrinthdichtung SL	T72
ter SL	T51	Belyaev, A. K., On the Integral Description of Broad-Band Vibration of Complex Mechanical Structures SL	T62
Ams, A., Parameteridentifikation unter Berücksichtigung der Genauigkeit von Meßdaten SL	T84	Benišek, M.; Nedeljković, M., Čantrak, S., An Inves-	102
an der Heiden, U.; Reichard, K., Multitude of Oscillatory Behaviour in a Nonlinear Second Order Differential-	8	tigation on the Incompressible Turbulent Mean Swirling Flow Characteristics Change along Straight Conical	
Difference Equation SL	T621	Diffuser SL	T456
Antes, H., Eine vollständige Randintegralformulierung für		Berger, J., see Köppl, A.	
den dynamischen Kontakt schwerer elastischer Struk- turen SL	T708	Bertram, A.; Olschewski, J.; Wyrwa, J.; Zelewski, M.; Bestimmung der elastischen Konstanten anisotroper	
Appeltauer, J.; Dung, Nguyen L.; Mahrenholtz, O., Numerische Untersuchung der Rißbildung infolge plasti-	T212	Festkörper mittels FE-Simulation der Eigenschaften SL	T322
schen Fließens SL Arbenz R. Computing Figenvalues of Randed Symmetric	T312	Betten, J.; Breitbach, G.; Waniewski, M., Multiaxial	
Arbenz, P., Computing Eigenvalues of Banded Symmetric Topplitz Matrices SL	T595	Anisotropic Creep Behaviour of Rolled Sheet-Metals MA	381
Arimitsu, Y.; Nishioka, K., Application of the Generalized Two-Dimensional Formalism to a Screw Dislocation		Beyn, WJ.; Wadepuhl, M., Verzweigung in einem Finite- Elemente Modell für das hydrostatische Skelett SL	T272
Wall in a Thin Plate SC	72	Binder, B.; Gebbeken, N.; Rothert, H., Zur Berechnung	
Arnold, L., Stabilization by Noise Revisited MA	235	von Stabtragwerken nach der Fließgelenktheorie unter	
Awrejcewicz, J., Bifurcations of the Oscillations of the Vocal Cords	T100	Berücksichtigung verformbarer Anschlußkonstruktionen SL	T245

	page		page
Bischoff, W.; Cremers, H.; Fieger, W., Optimal Designs in Electrocardiography with Non-Constant Variances		Capodanno, P., Plane Small Oscillations of a Rigid Body with a Cavity Containing a Liquid and Closed by an Elastic Cover SC	200
Blendermann, W., Koeffizienten der Wellenkräfte am schlanken zylinderischen Objekt im Meer SL	T731 T480	Elastic Cover SC Carl, S., An Enclosing Theorem and a Monotone Iterative Scheme for Elliptic Systems Having Nonmonotone Non-	200
Błocka, B., Mode Superposition Method in Transient Vibration of Thin Shells of Revolution SL	T39	linearities MA Carmine, R.; Schreck, E.; Schnack, E., Experimental Results of Convergence Order for Two-Dimensional	309
Bloß, M.; Numerische Lösung von Hamilton-Jacobi-Bellman-Gleichungen mit Mehrgittertechniken SL Bluhm, J.; Ehlers, W., Zur vollständig geometrisch nicht-	T659	Coupling of FEM and BEM SL Chen, Z. S.; Hofstetter, G.; Mang, H. A., Ein neues Ver-	T699
linearen Berechnung elastisch-plastisch deformierbarer Strukturen SL Boese, F. G., The Stability Chart for a Sequence of Linear	T676	fahren zur Lösung des Kantenproblems bei BEFEM- Diskretisierungen SL Ciglarič, I., see Oblak, M.	720
Neutral Difference-Differential-Equations with One Delay SL	T607	Claudio, D. M., Sichere Numerik und Anzahl der korrekten Ziffern der errechneten Ergebnisse bei Fixpunktsatz SL Collatz, L.; Grothkopf, U.; Hayman, W. K., Verschie-	T541
Bogacz, R.; Irretier, H.; Sikora, J., On Discrete Modelling of Contact Problems with Friction SL Bogacz, R.; Irretier, H.; Szolc, T., An Application of	T31	dene Typen von Singularitäten einer Randwertaufgabe bei einem Modell einer Pipeline MA	155
the Elastic Wave Propagation Theory to Transient Torsional Vibration Analysis in Rotating Machines SL Bogacz, R.; Krzyzyński, T.; Popp, K., On the Group-	T199	Constanda, C., Smoothness of Elastic Potentials in the Theory of Bending of Thin Plates SC Cordes, D., see Adams, E.	147
Phase Velocity Relations for Continuous Systems under Moving Loads SL	T202	Cremers, H., see Bischoff, W. Cvetković, L.; Herceg, D., Relaxation Methods for Sin-	T. 550
Bogacz, R., see Bajer, Cz. Bogacz, R., see Brzozowski, M. Böhme, G., Rheologisches Stoffgesetz für oszillierende		gular M-Matrices SL Czemetschka, E., see Kluwick, A.	T552
Strömungen einfacher Flüssigkeiten SL Bojtár, I.; Bagi, K., A Numerical Model for the Analysis	T359	Debnath, L., see Maiti, N. Ch. Dellnitz, M., Numerische Behandlung der Hopf-Verzwei-	T102
Bontcheva, N., Numerical Investigation of Plastic Localization During Coupled Thermoplastic Metal Forming		gung in Systemen mit Symmetrie SL Dellnitz, M., see Zheng, Q. Dempsey, J. P., see Hui, Li	T102
Processes SL Boričić, Z., see Saljnikov, V. Braune, K., A-posteriori Fehlerschranken bei der Berech-	T297	Dinh Nho Hao, Notes on a Nonlinear Dispersive Equa- tion SL Dobner, HJ., Einschließungsmethoden für Fredholmsche	T627
nung inverser Standardfunktionen mit Hilfe des Newton- Verfahrens SL	T579	Integralgleichungen SL Dobrowolski, M., Wie groß ist der Diskretisierungsfehler	T592
Breitbach, G., see Betten, J. Bremicker, M.; Eschenauer, H., Optimal Disign of Complex Structures by Means of Decomposition SL	T275	beim Finite Elemente Verfahren? SL Dohmann, J.; Strauß, K., Gitterturbulenz in wäßrigen Tensidlösungen SL	T667
Brešar, F., see Kutnjak, M. Brod, H.; Buggisch, H., Inhomogene Dehnströmung einer viskoelastischen Flüssigkeit SL	T361	Dohrmann, U., see Schnerr, G. H. Domjahn, J., see Gampert, B.	
Brunk, G., Energetisch neutrale Kopplung diskreter me- chanischer und elektrischer Systeme SL	T177	Domokos, G., Berechnung des nichtlinearen Verhaltens von Tragwerken mit diskreter Rotationssymmetrie SL Dong, M., see Herrmann, K. P.	T224
Bruno, A., Umfangskräfte beim instationären Rollvorgang zylindrischer Stahlräder SL Brzozowski, M., Bogacz, R.; Popp, K., Zur Reibungs-	T90	Drikakis, D., see Tsangaris, S. Dun, R., Schmidt, G., Globale rheonichtlineare Schwingungen, Anwendung auf parametrische Stromgenerato-	
modellierung beim Rollkontakt SL Buchacker, U., see Filippi, S. Buggisch, H., see Brod, H.	T678	ren MA Dung, Nguyen L., see Appeltauer, J.	331
Buggisch, H., see Fütterer, G. Bühler, K; Krückels, J., Strömungsformen mit Ablösung		Durst, F., see Raszillier, H. E, Quin, see Li, F.	
im ebenen Diffusor SL Bühler, K; Zierep, J., Instationäre Plattenströmung mit Absaugung und Ausblasen SC	T475	Eckelmann, H., see Roesch, E. Égert, J., see Altenbach, J.	
Bujurke, N. M.; Naduvinamani, N. B.; Jagadeswar, M., Porous Rayleigh Step Bearing with		Ehlers, W., Eine neue thermodynamische Interpretation elastisch-plastischen Materialverhaltens SL Ehlers, W., see Blühm, J.	T301
Second-Order Fluid MA Butinar, B.; Oblak, M.; Kegl, M., Optimum Design of Structural and Mechanical Systems by an Optimality	517	Eiber, A., Bestimmung von Parametern bei Rotorsystemen SL Einfeldt, B., Über die Notwendigkeit nichtlinearer Stabili-	T86
Criteria Method SL Butinar, B., see Oblak, M. Byszewski, L., Strong Maximum and Minimum Principles	T277	tätsbetrachtungen bei Differenzenverfahren für hyperbolische Erhaltungssätze SL	T635
for Parabolic Problems with Non-local Inequalities SC	202	El Naschie, M. S., On the Susceptibility of Local Elastic Buckling to Chaos MA El Naschie, M. S., Räumlich verteilte chaotische Solitonen	535
Čanak, M., Anwendung der KRK-Methode auf eine inverse Randwertaufgabe SL Čantrak, S.; Voronjec, D., Magnetohydrodynamische	T573	in elastostatischen Systemen SL Eller, D., Zur numerischen Klassifikation des Lösungsver- haltens nichtlinearer, periodisch erregter Strukturen SL	T105
Strömungen in den Schichten parallel zur krummlinigen Fläche SL	T390	Ellinghaus, R.; Muschik, W., Covariant Material Equa-	T261
Čantrak, S., see Benišek, M.		Ellinghaus, R., see Muschik, W.	

	page		page
Eschenauer, H.; Schäfer, E., Über die Lösung von Strukturoptimierungsaufgaben mit Diskretheitsforderungen	T279	Giese, H.; Weichert, D.; Groß-Weege, J.; Raad, L., Anwendung der Einspieltheorie auf Probleme der Boden- mechanik	T251
Eschenauer, H., see Bremicker, M.	12/3	mechanik SL Gilbert, R. P., see Thejll, P. G.	T251
Estorff, O. von, Zur Kopplung von finiten Elementen und Randelementen im Zeitbereich SL	T701	Godts, S.; Zeytounian, R. H., A Note on the Blasius Problem for a Slightly Compressible Flow SC	67
Faridani, A., Praktische Fragen der lokalen Tomographie		Golberg, M. A., A Comment on Leko's Nonexistence Proof of the Dirichlet Problem SC	403
Ferstl, F.; Thurner, G., Erfahrungen mit einem paral-	T530	Gorenflo, R.; Pfeiffer, A., Diskretisierung nichtlinearer Abelscher Integralgleichungen erster Art SL	T564
lelisierten Verfahren zur Lösung des Travelling Salesman Problems	T598	Göz, M., Instabilities and Bifurcations in a Two-Dimensional Fluidized Bed Model	T386
Fiebig, M., see Güntermann, Th.	10,0	Gräb, B., see Schiffner, K.	
Fieger, W., see Bischoff, W.		Grajnert, J.; Krettek, O., Zum Einfluß der Luftdrosselung	T750
Filippi, S.; Buchacker, U.		auf die Dämpfungseigenschaften von Luftfedern SL Gretler, W., see Abdel-Raouf, A. M.	T758
Filippi, S.; Buchacker, U., Ein Hermite-Runge-Kutta- Verfahren der Ordnung 5(6) für retardierte Anfangs- wertprobleme	241	Großweege, J., see Giese, H. Grothkopf, U., see Collatz, L.	
wertprobleme SC Fleck, R.; Stummel, F., Results of a Rounding Error	341	Guiasu, I., see Raszillier, H.	
Analysis of the Frontal-Solution-Method (FSM) SL	T553	Gum, T., see Tam, K. K. Güntermann, Th.; Fiebig, M., Wechselwirkung zwischen	
Frik, M.; Ahanikamangar, M., Entwurf eines nichtline- aren Laufmustergenerators MA	279	Längswirbeln und laminarer Kanalströmung SL Gupta, N. K.; Lauert, HA.; Zdebel, U., On Deforma-	T466
Frik, M.; Kostyra, H., Adaptive Regelung einer zwei-		tion Under Strain Path with a Corner MA	325
	T151	Gupta, N. K.; Meyers, A., Fitting of Experimental Yield	
Frik, M., see Ahanikamangar, M.		Surfaces MA	181
Fritzen, CP., Reguläres und chaotisches Verhalten einer	T112	Gürgöze, M., Näherungsformel für die Grundfrequenz des Petterson-Königschen Stabes SC	403
Laval-Welle mit Riß SL Frommer, A.; Mayer, G., Theoretische und praktische	T112	Gürgöze, M., Nichtkonservatives System auf rotierender	103
Ergebnisse zur Multisplitting-Verfahren auf Parallelrech-		Unterlage	T185
nern SL	T600	Güven, U., On Transverse Vibrations of a Thin Disk in	
Frommer, A.; see Mayer, G.		Discontinuous Temperature Field SC	595
Fufaev, N. A., About an Example of the System with	502	Hackl, K., Zur Ausbreitung von Instabilitäten in einem	
Nonholonomic Constraint of Second Order SC	593	Knickmodell von Thompson und Gâspár SL	T189
Fürst, S., Aktive Schwingungsdämpfung biegeelastischer Rotoren SL	T153	Hackmüller, G.; Kluwick, A., Marginale Ablösung an	
Fütterer, G.; Buggisch, H.; Schnelles Fließen von trok-			T478
kenen Schüttgütern in konvergenten Schächten SL	T385	Hamina, M.; Ruotsalainen, K.; Saranen, J., About Numerical Solution of a Nonlinear Boundary Integral Equation with the Collocation Method SL	T703
Galántai, A., Remarks on the Stability of Discretization Methods SL	T611	Hanke, M.; Niethammer, W., On the Use of Small Rela- xation Parameters in Kaczmarz's Method SL	T575
Gałka, A.; Telega, J. J., The Complementary Energy Principle for a Model of Shells with an Independent Rotation		Hartwig, H.; Klötzler, R., Umpolygone größten Flächen- inhalts MA	395
Vector SL	T253	Hatzikonstantinou, P., Effectes of Mixed Convection	
	T316	and Viscous Dissipation on Heat Transfer about a Porous Rotating Sphere MA	457
Gamer, U.; Müftü, S., On the Elastic-Plastic Shrink Fit with Supercritical Interference MA	501	Hayman, W. K., see Collatz, L.	
Gamer, U., see Mack, W.	. 501	Heier, K.; Wolfersdorf, L. v., Numerical Evaluation of	
Gampert, B.; Domjahn, J., Untersuchungen zum Einsatz		Potential Flows Past a Circular Cylinder with Porous Surface SC	65
der viskoelastichen Rayleigh-Bénard-Konvektion unter		Hilbig, S., An Algorithm for Quadratic Vector Optimiza-	05
besonderer Berücksichtigung der Ladungseigenschaften	T272	tion Problems SL	T751
wäßriger Polymerlösungen SL Ganapathy, R., see Purushothaman, R.	T372	Hempelmann, K., Modale Synthese am Beispiel von Plat-	
Gáspár, Zs.; Tarnai, T., Cable Nets and Circle-Coverings		tenstrukturen SL	T64
on a Sphere SL	T741	Herceg, D.; Petrović, N., On Numerical Solution of a Nonlocal Problem SL	T649
Gaul, L.; Kempfle, S.; Klein, P., Transientes Schwin-		Herceg, D., see Cvetković, L.	
gungsverhalten bei der Dämpfungsbeschreibung mit nicht ganzzahligen Zeitableitungen SL	T139	Herold, H., Lösung einer inhomogenen Randwertaufgabe der Potentialtheorie SC	64
Gavl, L., see Nackenhorst, U.		Herrmann, K. P.; Dong, M., Bruchmechanische Unter-	
Gebbeken, N., Zum Postulat nicht negativer Dissipations- arbeiten im Rahmen der Fließgelenktheorie SL	T248	suchungen zum Mixed-Mode Problem sowie zur Rißweg- vorhersage in Zweikomponentenmaterialien SL	T292
Gebbeken, N., see Binder, B.		Herrmann, N.; Kettmann, M., Zur Stabilität lakunärer	
Gebhard, B., see Schönauer, W.		Splinefunktionen SL	T566
Geis, M., Anwendung der Randelementmethode zur Unter- suchung ebener, elastodynamischer Rißprobleme SL	T710	Herrmann, K. P.; Wang, Y. Q., Crack Analysis of Unit Cells of Fibre Reinforced Composites Under Axial and	
Geropp, D., Reibungsbehaftete Strömungen in Lavaldüsen mit Wandkühlung SL	T413	Thermal Loading SL Herzberger, J., Über die Wirksamkeit eines Iterationsver-	T304
Giannone, A. C., On the Velocities of Electromagnetic	1011	fahrens zur Einschließung der Inversen einer Intervall-	
Shock Waves MA	111	matrix SC	470

	page		page
Herzberger, J., Bemerkungen zur Konvergenz eines Iterationsverfahrens zur Einschließung der Inversen einer	Trees.	Katagiri, M., Accurate Numerical Solutions of Unsteady Combined Convection from an Isothermal Circular Cy- linder SC	465
Heuer, R.; Irschik, H., Eine Analogie zwischen Membran	T555	Kaveh, A., Space Structures and Their Planar Drawings	T225
und Sandwichplatte mit "dicken" Deckschichten SL Hildenbrand, J., see Kuhn, G.	171	Kegl, M., see Butinar, B.	
Hiller, M.; Li, HY., Kineamtik des allgemeinen Indu-		Kempfle, S., see Gaul, L.	
strieroboters mit sechs Drehgelenken SL	T23	Keppler, H., see Adams, E.	
Hiller, M.; Möller, M., Zur computergestützten Analyse mehrschleifiger räumlicher Mechanismen SL	T25	Kersten, H., Das Verhalten harmonischer Vektorfelder bei Störung der Randdaten SL	T628
Hiller, M.; Sokol, P., Berücksichtigung von elastischen Körpern in Mehrkörperschleifen SL	T28	Ketskeméty, L., Statistical Methods for Preparing the Training Set SL	T733
Hiremath, P. S., see Purushothaman, R.	120	Kettmann, M., see Herrmann, N.	2,00
Hoeborn, D.; Mühl, M., Eigenfrequenzen und Eigenfor-		Khdeir, A. A., see Librescu, L.	
men eines Stabes mit Cosserat-Kinematen SL	T43	Kiehl, M., Reduktion des Integrationsaufwandes beim vek-	
Hofstetter, G., see Chen, Z. S.		torisierten Mehrfachschießen SL	603
Holden, J. T.; King, A. C., The Dynamics of a Ball Rolling	252	Kim, KS.; Ballmann, J., Numerische Simulation me- chanischer Wellen in geschichteten elastischen Körpern	
on a Rotating Plane SL Hsiao, G. C., The Coupling of Boundary Element and Finite	353		T204
Element Methods PL	T493	King, A. C., see Holden, J. T.	
Hübler, A., see Roesch, E.		Kioussis, E. K., see Vlachakis, N. W.	
Hübner, W., Biegung von endlichen Torusschalen unter		Kisliakov, S. D.; Osadebe, N. N., Transperiodical Point	
Berücksichtigung der Schubdeformation MA	285	Mapping for the Damped Nonlinear Mathieu Equation	m
Hui, Li; Dempsey, J. P., A Rigid Flat Indenter on an	(0		T117
Elastic Layer Underlain by a Rigid Base SC	69	Kleczka, M.; Kreuzer, E.; Wilmers, C., Bestimmung periodischer Lösungen nichtlinearer Systeme SL	T120
Inney C. Sahmaals E. Two and Three dimensional Sha		Kleemann, U., Regelung für einen elastischen Roboter SL	
Iancu, G.; Schnack, E., Two-and Three-dimensional Shape Optimization with FEM SC	527	Klein, P., see Gaul, L.	
Innes, G. E.; Leuthheusser, H. J., Measured and Ana-	521	Klein, P. P., Eigenwerteinschließung bei nichtselbstadjun-	
lytically Predicted Velocity Distributions in Tribologi-			T560
cal Fluid Films SL	T459	Klein, W., see Ammon, D.	
Ionescu, I. R., Error Estimates of an Euler Method for a		Klepp, H.; Meyers, A., Shifting Tendency Functions of a System with Friction Affected Constraints and Equili-	
Quasistatic Elastic-Visco-Plastic Problem MA	173	brium Zones MA	449
Irretier, H., Ein Verfahren der Modalsynthese gekoppelter		Klepp, H. J., The Specific Effects of Constraints with Fric-	
Strukturen auf der Basis analytischer Eigenlösungen der Substrukturen mit freien Schnittufern und restlichen		tion on the Behaviour of Multy-Body-Systems SL	T33
Nachgiebigkeitsmatrizen SL	T67	Kliem, W., Zur modalen Dämpfung linearer dynamischer	
Irretier, H., see Bogacz, R.		Systeme SL	T141
Irschik, H., see Heuer, R.		Klöhn, C., Vergleichende Untersuchungen zur Lösung des	
Ismar, H.; Schmitt, J., Zur zyklischen Belastung einer		Torsionsproblems mit Hilfe verallgemeinerter Finite- Element-Formulierungen SL	T680
Aluminiumlegierung im Bereich kleiner plastischer Form-	T224	Klötzler, R., see Hartwig, H.	1000
änderungen SL Ismar, H.; Schmitt, U., Einige Ergebnisse der numerischen	T324	Kluwick, A.; Czemetschka, E., Kugel- und Zylinder-	
Simulation des stoffmechanischen Verhaltens einer Faser-		wellen in Medien mit positiver und negativer Nicht-	
	T306	linearität SL	T207
		Kluwick, A., see Hackmüller, G.	
Jagadeswar, M., see Bujurke, N. M.		Knobloch, H. W., Construction of Center Manifolds	215
Jansson, C., Ein Verfahren zur Einschließung aller Lö-		MA Kocaaydin, C. S.; Ballmann, J., Aerodynamische Be-	215
sungen eines linearen Optimierungsproblems mit In-		trachtung der Impulsschallentstehung SL	T483
	T753	Koksch, N.; Leonov, G. A.; Morosov, A. V.; Ponoma-	1 105
Jasińska-Choromańska, D., Mathematical Model of a Multidimensional Electromechanical System SL	T282	renko, D. V., Zur Eingrenzung des Lorenz-Attraktors	
Jedrzejczyk-Kubik, J.; Kubik, I., Reciprocal Theorem	1202	durch die Anwendung der nichtlokalen Reduktions-	
for Viscoelastic Thermodiffusion in the Electromagnetic		methode und mit Hilfe von Vergleichssystemen zweiter	
Field SL	T262	Ordnung MA	117
Jovanović, B. S., Optimal Error Estimates for Finite-Dif-		Kolms, A.; Rothert, H., Zur Berechnung statischer Systeme bei verformungsabhängiger Belastung	T602
	T640	steme bei verformungsabhängiger Belastung SL Koltsakis, E. K., see Panagiotopoulos, P. D.	T683
Junker, F., see Lückel, J.		Konczak, Z., Rayleigh-Lamb Type Waves in a Fluid-	
Vacampf R I Integral Engrainfraisatzunggrate und Coop		Saturated Porous Stratum Inserted in an Elastic	
Kaempf, B., J-Integral, Energiefreisetzungsrate und Span- nungsintensitätsfaktoren für zwei- und dreidimensionale		Infinite Medium SL	T208
n:01 @	T294	Köppl, A.; Berger, J., Kristallisation eines dünnen Poly-	
Kaliszky, S.; Lógó, J., Optimal Design of Elastio-Plastic		merstranges beim Durchlaufen einer Kühlzone	
Structures under Various Loading Conditions and Dis-		SL	T375
placement Constraints SL	T283	Kost, B., Zur Berechnung elastisch-plastischer Tragwerke	TOO
Kaloni, P. N., see Moro, L.			T284
Karaglannis, K., Rasselschwingungen in PKW-Getrieben	T114	Kostyra, H., see Frik, M.	
Karaosmanoglu, N.; Schnack, E., Three-Dimensional	1114	Kotulski, Z., On the Effective Reflection Properties of the Randomly Stratified Elastic Slab SL	T211
	T705	Kozin, F., Adaptive Updating for Parameter Identification	1411
Karch, G., see Wedig, W.		of Models in Mechanics M4	T12

	page	I s	page
Krämer, W., Berechnung der Gammafunktion $\Gamma(x)$ für	puge	Luid, E., Eigenschaften von Produktquadraturformeln SL	
reelle Punkt- und Intervallargumente SL	T581	Lundberg, P., Determination of Seiche Periods Using the	2000
Krettek, O., see Grainert, J. Kreuzer, E., see Kleczka, M.		Rayleigh-Schrödinger Technique MA	315
Krückels, J., see Bühler, K.		Maaß, P., Tomographische Methoden bei Breitband-Radar	
Krzyzyński, T., see Bogacz, R.		M2	T539
Kubik, J., see Jedrzejczyk-Kubik, J.		Mack, W.; Gamer, U., Die thermisch beanspruchte ela-	
Kuhn, G.; Hildenbrand, J., Ein Vergleich der innerhalb der "direkten" REM wichtigsten numerischen Lösungs-		stisch-plastische Scheibe mit nichtlinearer Verfestigung	T242
verfahren SL	T722	SL Mahrenholtz, O., see Appeltauer, J.	T242
Kuhn, G.; Sichert, W., Instationäre, thermoelastische Be-		Maiti, N. Ch.; Debnath, L., Transient Wave Motions Due	
rechnungen mittels der Randelementmethode (REM)		to an Asymmetric Shear Stress Discontinuity in a Layered	
ohne Gebietsintegration SL	T725	Elastic Medium MA	35
Kuhn, G., see Skerget, P. Kumperščak, V., Bending of Moderately Thick Plates and		Majorkowska-Knap, K.; Lenz, J., Non-Existence of Bleustein-Gulyaev-Waves in Non-Classical Dielectric,	
Influence of Plate Thickness SL	T238	Centrosymmetric Cubic Crystals SL	T215
Kunert, A.; Pfeiffer, F., Stochastische Modellierung von		Mang, H., Beuldrücke aus linearen Anfangsbeulanalysen	
chaotischen Rasselschwingungen in Schaltgetrieben	T52	Correction SC	206
SL Küpper, T.; Troger, H.; Vanderbauwhede, A.; Wer-	T52	Mang, H. A., see Chen, Z. S. Marinov, C. A.; Neittaanmäki, P., Asymptotical Con-	
ner, B., Minisymposium 1: Verzweigung in mechani-		vergence Evaluation for a Parabolic Problem Arising	
schen Systemen M1	T6	in Circuit Theory SC	344
Kutnjak, M.; Brešar, F., The Component σ_z of the Stress Tensor SL	T240	Marotzke, Ch., Untersuchung der Kraftübertragung bei	T210
Telisor	T240	Faserverbundwerkstoffen SL Marti, K., Stochastic Optimization Methods in Structural	T310
Labisch, F. K., Nonlocal Qualitative und Quantitative		Mechanics SL	T742
Analysis of a Simple Shallow Shell Problem MA	91	Masenger, U., Zur Rolldynamik von AS-Reifen auf der	
Labisch, F. K., Nichtlokale qualitative und quantitative Analyse eines nichtlinearen Schalenproblems SL	T102	Straße SL Mausbach, P., see Schnitker, J.	T92
Analyse eines nichtlinearen Schalenproblems SL Lachenmayr, G.; Sorge, K., Schwingungen in Planeten-	T192	Mayer, G.; Frommer, A., Über die R-Ordnung bei New-	
getrieben mit elastischen Hohlrädern SL	T161	ton-ähnlichen Iterationsverfahren SL	T558
Langbein, W., Symmetrical Tensor Fields of Constant		Mayer, G., see Frommer, A.	
Eigenvalue Ratio and Solutions of the Stress Equations for Creeping Motion MA	3	Mei, Zh., A Numerical Approximation for Simple Bifurca-	T542
for Creeping Motion MA Lauermann, H. D., Instationäre Verformungen elastischer	3	tion Points of Large Sparse Nonlinear Problems SL Meric, R. A., Shape Variations for Viscoelastic Solids Under	T542
	T213	Transient Response MA	T509
Lauert, HA., see Gupta, N. K.		Mertens, H., Zur Formulierung von Festigkeitshypothesen	
Lengnick, M., see Müller-Hoeppe, N., Lenz, J., see Majorkowska-Knap, K.		für mehrachsige phasenverschobene Schwingbeanspru- chungen SL	T327
Leonov, G. A., see Koksch, N.		Meuche, W., Calculation of Poisson's Ratio by Means of	1341
Leubner, C., see Torggler, P.		Longitudinal Rod Frequencies SC	590
Leutheusser, HJ., see Innes, G. E.		Meyers, A., see Gupta, N. K.	
Leutloff, D.; Roesner, K. G., Stoßfokussierung in Wasser SL	T421	Meyers, A., see Klepp, H. Micke, A., Die Auflösung schwach singulärer Fredholm-	
Li, F.; E., Quin, Ein numerisches Verfahren zur Berech-	1421	scher Integralgleichungen mit angepaßten Quadraturen	
nung der instationären transsonischen Strömung um ein		MA	49
	T398	Mičevski, M., Untersuchung eines im Unterschallbereich	
Li, HY., see Hiller, M. Li, Zhongyuan, Innere Resonanzen in kontinuierlichen		umströmten Schaufelgitters einer axialen Turbomaschine SL	T416
Systemen SL	T45	Möller, M., see Hiller, M.	1110
Librescu, L.; Khdeir, A. A.; Reddy, J. N., Further Re-		Moritz, W., see Lückel, J.	
sults Concerning the Dynamic Response of Shear De-	22	Moro, L.; Siddiqui, A. M.; Kaloni, P. N., Steady Flows	
formable Elastic Orthotropic Plates MA Liebe, W., Zirkulation und Zähigkeit: Der Rotor im realen	23	of a Third Grade Fluid by Transformation Methods MA	189
	T483	Morozov, A. V., see Koksch, N.	
Lilov, L., On the Stabilization of Linear Mechanical Sy-		Müftü, S., see Gamer, U.	
stems SL	T144	Mühl, M., see Hoeborn, D. Müller, J., Analyse von mechanischen Bewegungsvorgän-	
Lindner, H., Turbulenzeinfluß auf Galloping-Schwingungen des quadratischen Prismas SL	T74	gen durch geometrische Konstruktion SL	T95
Liolios, A. A., Upper and Lower Solution Bounds for the		Müller, M.; Scherer, R., A Note on the Algebraic Stability	
Wilson θ -Method in Unilateral Elastodynamics and		of Runge-Kutta Methods SL	T613
Dynamic Elastoplasticity SL	T256	Müller-Hoeppe, N.; Lengnick, M., Zur numerischen Behandlung von Problemen mit endlichen elastischen	
Lippold, G., Error Estimates for the Approximate Solution of Linear Fixed Point Equations MA	129	Deformationen SL	T686
Liu, YZ., On the Generation of Dynamical Equations of		Müller-Slany, H. H., Generierung angepaßter dynami-	
a Rigid Body Containing Fluid SC	199	scher Ersatzsysteme mit Optimierungsprozeduren	255
Lógó, J., see Kaliszky, S.		MA Munz, C. D.; Schmidt, L., Über die Bildung von Wirbel-	255
Louis, A.; Schwierz, G., Rekonstruktionsverfahren in der medizinischen Bildgebung M2	T533	straßen in Überschallströmungen SL	T447
Lückel, J.; Moritz, W.; Wassmuth, E.; Junker, F.,		Muschik, W.; Ellinghaus, R.; Remarks on the Connec-	
Modellbildung und Simulation von elektromechanischen			T265
Devokovotomon	765	Muschik W see Ellinghaus R	

	page		page
Nackenhorst, U.; Zastrau, B.; Gaul, L., Zur Berechnung flüssigkeitsgefüllter elastischer Behälter unter dynamicher Benegerundung mit der Methode der Fini		Pfeiffer, F., Dynamische Systeme mit unstetig auftretenden Bindungen SL Pfeiffer, F., see Kunert, A.	T37
mischer Beanspruchung mit der Methode der Fini- ten Elemente SL Naduvinamani, N. B., see Bujurke, N. M.	T485	Phan-Thien, N., Sliding and Squeezing Deformation of an Elastic Wedge SC	592
Nastase, A.; Rudianu, C., Theoretical Prediction of Pressure Distribution on Wedged Delta Wing at Higher Supersonic Mach Numbers and its Agreement with		Plaschko, P., Matched Asymptotic Approximation to Solutions of a Class of Singular Parabolic Differential Equations	63
Experimental Results SC Nastase, A.; Stanisav, E., Prediction of Pressure Distribu- tion on Optimum-Optimorum Delta Wing at Higher	T427		T747
Angles of Attack in Supersonic Flow and its Agreement with Experimental Results SL Natke, H. G.; Zamirowski, M., On Methods of Structure	T433	Plonski, Th., Stabilitätsanalyse rotierender elastischer Systeme unter Verwendung des Lanczos-Verfahrens	T194
Identification for the Class of Polynomials within Mechanical Systems MA	415		T668
Nedeljković, M., see Benišek, M. Nedeljković, M., see Protić, Z. Neittaanmäki, P. see Marinov C. A.		Ponomarenko, D. V., see Koksch, N. Popp, K., see Bogacz, R. Popp, K., see Brzozowski, M.	
Neittaanmäki, P., see Marinov, C. A. Nguyen, Van-Phai, Ein Rechenverfahren zur Bestimmung des Schubflusses in einem dünnwandigen Quer-	Т220	Protić, Z.; Nedeljković, M., Static Pressure Regain in Free-Exhaust Axial Flow Fans with no Downstream	T469
schnitt SL Niethammer, W., see Hanke, M. Nikodijević, D., see Saljnikov, V.	T229	Guide Vanes SL Purushothaman, R.; Ganapathy, R.; Hiremath, P. S., Free Convection in an Infinite Porous Medium Due to	1409
Nikolakis, D., Strömung einer viskoelastischen Flüssigkeit in einem Kugelpendel SL Nishioka, K., see Arimitsu, Y.	T366	a Pulsating Point Heat Source MA Raad, L., see Giese, H.	41
Noda, N., Thermal Stress Problem in Fluid-Filled Porous Circular Cylinder MA	543	Rakowski, J., Nichtlineare Schwingungen von Stäben unter laufender Belastung SL	T47
Oblak, M.; Butinar, B.; Ciglarič, I., Kinematic Analysis and Synthesis of Mechanism Based on Probability Princi-		Rapcsák, T.; Szenthe, J., On the Connection Between Mechanical Force Equilibrium and Nonlinear Program- ming MA	557
ples SL Oblak, M., see Butinar, B. Ohle, F., see Roesch, E.	T55	Raszillier, H.; Quiasu, I.; Durst, F., Optimal Approximation of the Added Mass Matrix of Two Spheres of Unequal Radii by an Asymptotic Short Distance Expan-	
Olschewski, J., see Bertram, A. Osadebe, N. N., see Kisliakov, S. D.		sion MA Rath, H. J., see Petri, B. Raddy, J. N. see Librason, I.	83
Páczelt, I., see Altenbach, J. Pallacks, R., Fast-Quarterpoint Elemente für einsprin-		Reddy, J. N., see Librescu, L. Reichard, K., see an der Heiden, U. Rek, Z., see Skerget, P.	
gende Ecken mit kleiner Ausrundung SL	T652		T163
Panagiotopoulos, P. D., On the Fractal Nature of Me-	T258	Rieder, A., Approximationseigenschaften der kontinuierli-	
Panagiotopoulos, P. D., On the Fractal Nature of Mechanical Theories SL Panagiotopoulos, P. D.; Koltsakis, E. K., The Nonmonotone Skin Effects in Plane Elasticity Problems	T258	chen Wavelet-Transformation SL Rieder, G., Konjugierte Gradienten und die Randelement- methode in Potential- und Elastizitätstheorie SL	T712
Panagiotopoulos, P. D., On the Fractal Nature of Mechanical Theories SL Panagiotopoulos, P. D.; Koltsakis, E. K., The Nonmonotone Skin Effects in Plane Elasticity Problems Obeying to Subdifferential Material Laws MA Panayotounakos, D. E.; Theocaris, P. S., On the De-	T258	chen Wavelet-Transformation SL Rieder, G., Konjugierte Gradienten und die Randelement- methode in Potential- und Elastizitätstheorie SL Riemer, M., Zur vollständigen Algebraisierung des Prinzips von Hamilton in der Elastodynamik SL	
Panagiotopoulos, P. D., On the Fractal Nature of Mechanical Theories SL Panagiotopoulos, P. D.; Koltsakis, E. K., The Nonmonotone Skin Effects in Plane Elasticity Problems Obeying to Subdifferential Material Laws MA Panayotounakos, D. E.; Theocaris, P. S., On the Decoupling and the Solutions of the Euler Dynamic Equations Governing the Motion of a Gyroscope MA		chen Wavelet-Transformation Rieder, G., Konjugierte Gradienten und die Randelementmethode in Potential- und Elastizitätstheorie Riemer, M., Zur vollständigen Algebraisierung des Prinzips von Hamilton in der Elastodynamik Riha, P., The Effect of a Magnetic Field on the Rotation of Magnetic Particles of Ferromagnetic Fluids Roesch, E.; Ohle, F.; Eckelmann, H.; Hübler, A., Mo-	T712
Panagiotopoulos, P. D., On the Fractal Nature of Mechanical Theories SL Panagiotopoulos, P. D.; Koltsakis, E. K., The Nonmonotone Skin Effects in Plane Elasticity Problems Obeying to Subdifferential Material Laws MA Panayotounakos, D. E.; Theocaris, P. S., On the Decoupling and the Solutions of the Euler Dynamic Equations Governing the Motion of a Gyroscope	13	chen Wavelet-Transformation Rieder, G., Konjugierte Gradienten und die Randelementmethode in Potential- und Elastizitätstheorie Riemer, M., Zur vollständigen Algebraisierung des Prinzips von Hamilton in der Elastodynamik Riha, P., The Effect of a Magnetic Field on the Rotation of Magnetic Particles of Ferromagnetic Fluids SC Roesch, E.; Ohle, F.; Eckelmann, H.; Hübler, A., Modelle für transiente Zustände der Kármánschen Wirbelstraße und deren Anwendung zur Steuerung der Wirbelstraße	T712
Panagiotopoulos, P. D., On the Fractal Nature of Mechanical Theories SL Panagiotopoulos, P. D.; Koltsakis, E. K., The Nonmonotone Skin Effects in Plane Elasticity Problems Obeying to Subdifferential Material Laws MA Panayotounakos, D. E.; Theocaris, P. S., On the Decoupling and the Solutions of the Euler Dynamic Equations Governing the Motion of a Gyroscope MA Pao, YH., see Ziegler, F. Papantonis, D. E., Numerical Evaluation of the Similarity Laws for the Flow Between Two Rotating Disks SL Parzer, I., see Alujević, A.	13	chen Wavelet-Transformation Rieder, G., Konjugierte Gradienten und die Randelementmethode in Potential- und Elastizitätstheorie SL Riemer, M., Zur vollständigen Algebraisierung des Prinzips von Hamilton in der Elastodynamik SL Riha, P., The Effect of a Magnetic Field on the Rotation of Magnetic Particles of Ferromagnetic Fluids SC Roesch, E.; Ohle, F.; Eckelmann, H.; Hübler, A., Modelle für transiente Zustände der Kármánschen Wirbelstraße und deren Anwendung zur Steuerung der Wirbelstraße Roesner, K. G., see Bar-Yoseph, P. Roesner, K. G., see Leutloff, D.	T712 T178 407
Panagiotopoulos, P. D., On the Fractal Nature of Mechanical Theories SL Panagiotopoulos, P. D.; Koltsakis, E. K., The Nonmonotone Skin Effects in Plane Elasticity Problems Obeying to Subdifferential Material Laws MA Panayotounakos, D. E.; Theocaris, P. S., On the Decoupling and the Solutions of the Euler Dynamic Equations Governing the Motion of a Gyroscope MA Pao, YH., see Ziegler, F. Papantonis, D. E., Numerical Evaluation of the Similarity Laws for the Flow Between Two Rotating Disks SL Parzer, I., see Alujević, A. Pecherski, R. B., A Model of Large Plastic Strains with Perturbed Plastic Spin vis-a-vis Corner Theories of Plasticity	13	chen Wavelet-Transformation Rieder, G., Konjugierte Gradienten und die Randelementmethode in Potential- und Elastizitätstheorie SL Riemer, M., Zur vollständigen Algebraisierung des Prinzips von Hamilton in der Elastodynamik SL Riha, P., The Effect of a Magnetic Field on the Rotation of Magnetic Particles of Ferromagnetic Fluids SC Roesch, E.; Ohle, F.; Eckelmann, H.; Hübler, A., Modelle für transiente Zustände der Kármánschen Wirbelstraße und deren Anwendung zur Steuerung der Wirbelstraße Roesner, K. G., see Bar-Yoseph, P. Roesner, K. G., see Leutloff, D. Rohn, J., Real Eigenvalues of an Interval Matrix with Rank One Radius SL Rokicki, J., The Inverse Problem in the Multielement	T712 T178 407 T451 T562
Panagiotopoulos, P. D., On the Fractal Nature of Mechanical Theories SL Panagiotopoulos, P. D.; Koltsakis, E. K., The Nonmonotone Skin Effects in Plane Elasticity Problems Obeying to Subdifferential Material Laws MA Panayotounakos, D. E.; Theocaris, P. S., On the Decoupling and the Solutions of the Euler Dynamic Equations Governing the Motion of a Gyroscope MA Pao, YH., see Ziegler, F. Papantonis, D. E., Numerical Evaluation of the Similarity Laws for the Flow Between Two Rotating Disks SL Parzer, I., see Alujević, A. Pecherski, R. B., A Model of Large Plastic Strains with Perturbed Plastic Spin vis-a-vis Corner Theories of Plasticity SL Perkkiö, J., A Model for Non-Symmetric Flow of Suspensions through Cylindrical Channels	13 489 T445	chen Wavelet-Transformation Rieder, G., Konjugierte Gradienten und die Randelementmethode in Potential- und Elastizitätstheorie Riemer, M., Zur vollständigen Algebraisierung des Prinzips von Hamilton in der Elastodynamik SL Riha, P., The Effect of a Magnetic Field on the Rotation of Magnetic Particles of Ferromagnetic Fluids SC Roesch, E.; Ohle, F.; Eckelmann, H.; Hübler, A., Modelle für transiente Zustände der Kármánschen Wirbelstraße und deren Anwendung zur Steuerung der Wirbelstraße Roesner, K. G., see Bar-Yoseph, P. Roesner, K. G., see Leutloff, D. Rohn, J., Real Eigenvalues of an Interval Matrix with Rank One Radius SL Rokicki, J., The Inverse Problem in the Multielement Airfoil Theory SL Rosemeier, G., Ein Schlüsselexperiment des Materie-Ener-	T712 T178 407 T451 T562 T401
Panagiotopoulos, P. D., On the Fractal Nature of Mechanical Theories SL Panagiotopoulos, P. D.; Koltsakis, E. K., The Nonmonotone Skin Effects in Plane Elasticity Problems Obeying to Subdifferential Material Laws MA Panayotounakos, D. E.; Theocaris, P. S., On the Decoupling and the Solutions of the Euler Dynamic Equations Governing the Motion of a Gyroscope MA Pao, YH., see Ziegler, F. Papantonis, D. E., Numerical Evaluation of the Similarity Laws for the Flow Between Two Rotating Disks SL Parzer, I., see Alujević, A. Pecherski, R. B., A Model of Large Plastic Strains with Perturbed Plastic Spin vis-a-vis Corner Theories of Plasticity SL Perkkiö, J., A Model for Non-Symmetric Flow of Suspensions through Cylindrical Channels MA Perktold, K., Numerische Simulation nicht-Newtonscher Verzweigungsströmungen SL Pesch, H. J., A Survey of Certain Methods for the Guidance	13 489 T445	chen Wavelet-Transformation Rieder, G., Konjugierte Gradienten und die Randelementmethode in Potential- und Elastizitätstheorie Riemer, M., Zur vollständigen Algebraisierung des Prinzips von Hamilton in der Elastodynamik SL Riha, P., The Effect of a Magnetic Field on the Rotation of Magnetic Particles of Ferromagnetic Fluids SC Roesch, E.; Ohle, F.; Eckelmann, H.; Hübler, A., Modelle für transiente Zustände der Kármánschen Wirbelstraße und deren Anwendung zur Steuerung der Wirbelstraße Roesner, K. G., see Bar-Yoseph, P. Roesner, K. G., see Leutloff, D. Rohn, J., Real Eigenvalues of an Interval Matrix with Rank One Radius SL Rokicki, J., The Inverse Problem in the Multielement Airfoil Theory SL Rosemeier, G., Ein Schlüsselexperiment des Materie-Ener-	T712 T178 407 T451 T562
Panagiotopoulos, P. D., On the Fractal Nature of Mechanical Theories SL Panagiotopoulos, P. D.; Koltsakis, E. K., The Nonmonotone Skin Effects in Plane Elasticity Problems Obeying to Subdifferential Material Laws MA Panayotounakos, D. E.; Theocaris, P. S., On the Decoupling and the Solutions of the Euler Dynamic Equations Governing the Motion of a Gyroscope MA Pao, YH., see Ziegler, F. Papantonis, D. E., Numerical Evaluation of the Similarity Laws for the Flow Between Two Rotating Disks SL Parzer, I., see Alujević, A. Pecherski, R. B., A Model of Large Plastic Strains with Perturbed Plastic Spin vis-a-vis Corner Theories of Plasticity SL Perkkiö, J., A Model for Non-Symmetric Flow of Suspensions through Cylindrical Channels MA Perktold, K., Numerische Simulation nicht-Newtonscher Verzweigungsströmungen Pesch, H. J., A Survey of Certain Methods for the Guidance of Space Vehicles SL Peter, R. O., Zur numerischen Untersuchung stationärer	13 489 T445 T318 579	chen Wavelet-Transformation Rieder, G., Konjugierte Gradienten und die Randelementmethode in Potential- und Elastizitätstheorie SL Riemer, M., Zur vollständigen Algebraisierung des Prinzips von Hamilton in der Elastodynamik SL Riha, P., The Effect of a Magnetic Field on the Rotation of Magnetic Particles of Ferromagnetic Fluids SC Roesch, E.; Ohle, F.; Eckelmann, H.; Hübler, A., Modelle für transiente Zustände der Kármánschen Wirbelstraße und deren Anwendung zur Steuerung der Wirbelstraße Roesner, K. G., see Bar-Yoseph, P. Roesner, K. G., see Leutloff, D. Rohn, J., Real Eigenvalues of an Interval Matrix with Rank One Radius SL Rokicki, J., The Inverse Problem in the Multielement Airfoil Theory Rosemeier, G., Ein Schlüsselexperiment des Materie-Energie-Feldes Rothert, H., see Binder, B. Rothert, H., see Kolms, A. Rudianu, C., see Nastase, A. Rudtanin, K., see Hamina, M.	T712 T178 407 T451 T562 T401
Panagiotopoulos, P. D., On the Fractal Nature of Mechanical Theories SL Panagiotopoulos, P. D.; Koltsakis, E. K., The Nonmonotone Skin Effects in Plane Elasticity Problems Obeying to Subdifferential Material Laws MA Panayotounakos, D. E.; Theocaris, P. S., On the Decoupling and the Solutions of the Euler Dynamic Equations Governing the Motion of a Gyroscope MA Pao, YH., see Ziegler, F. Papantonis, D. E., Numerical Evaluation of the Similarity Laws for the Flow Between Two Rotating Disks SL Parzer, I., see Alujević, A. Pecherski, R. B., A Model of Large Plastic Strains with Perturbed Plastic Spin vis-a-vis Corner Theories of Plasticity SL Perkkiö, J., A Model for Non-Symmetric Flow of Suspensions through Cylindrical Channels MA Perktold, K., Numerische Simulation nicht-Newtonscher Verzweigungsströmungen SL Pesch, H. J., A Survey of Certain Methods for the Guidance of Space Vehicles Peter, R. O., Zur numerischen Untersuchung stationärer und instationärer Einlaufströmung in gekrümmten Rohren mit biofluidmechanischer Anwendung SL Petri, B.; Rath, H. J., Thermische Marangoni-Konvektion in sphärischen Tropfen bei verschiedenen Reynolds-	13 489 T445 T318 579 T376	chen Wavelet-Transformation Rieder, G., Konjugierte Gradienten und die Randelementmethode in Potential- und Elastizitätstheorie SL Riemer, M., Zur vollständigen Algebraisierung des Prinzips von Hamilton in der Elastodynamik SL Riha, P., The Effect of a Magnetic Field on the Rotation of Magnetic Particles of Ferromagnetic Fluids SC Roesch, E.; Ohle, F.; Eckelmann, H.; Hübler, A., Modelle für transiente Zustände der Kármánschen Wirbelstraße und deren Anwendung zur Steuerung der Wirbelstraße Roesner, K. G., see Bar-Yoseph, P. Roesner, K. G., see Leutloff, D. Rohn, J., Real Eigenvalues of an Interval Matrix with Rank One Radius SL Rokicki, J., The Inverse Problem in the Multielement Airfoil Theory Rosemeier, G., Ein Schlüsselexperiment des Materie-Energie-Feldes Schtert, H., see Binder, B. Rothert, H., see Binder, B. Rothert, H., see Nastase, A. Rudianu, C., see Nastase, A. Rudianu, C., see Nastase, A. Ruotsalainen, K., see Hamina, M. Rust, W., Mehrgitter-Verfahren für FE-Formulierungen geometrisch nichtlinearer Scheiben- und Plattenpro-	T712 T178 407 T451 T562 T401
Panagiotopoulos, P. D., On the Fractal Nature of Mechanical Theories SL Panagiotopoulos, P. D.; Koltsakis, E. K., The Nonmonotone Skin Effects in Plane Elasticity Problems Obeying to Subdifferential Material Laws MA Panayotounakos, D. E.; Theocaris, P. S., On the Decoupling and the Solutions of the Euler Dynamic Equations Governing the Motion of a Gyroscope MA Pao, YH., see Ziegler, F. Papantonis, D. E., Numerical Evaluation of the Similarity Laws for the Flow Between Two Rotating Disks SL Parzer, I., see Alujević, A. Pecherski, R. B., A Model of Large Plastic Strains with Perturbed Plastic Spin vis-a-vis Corner Theories of Plasticity SL Perkkiö, J., A Model for Non-Symmetric Flow of Suspensions through Cylindrical Channels MA Perktold, K., Numerische Simulation nicht-Newtonscher Verzweigungsströmungen Pesch, H. J., A Survey of Certain Methods for the Guidance of Space Vehicles SL Peter, R. O., Zur numerischen Untersuchung stationärer und instationärer Einlaufströmung in gekrümmten Rohren mit biofluidmechanischer Anwendung SL Petri, B.; Rath, H. J., Thermische Marangoni-Konvektion in sphärischen Tropfen bei verschiedenen Reynolds-	13 489 T445 T318 579 T376 T745	chen Wavelet-Transformation Rieder, G., Konjugierte Gradienten und die Randelementmethode in Potential- und Elastizitätstheorie Riemer, M., Zur vollständigen Algebraisierung des Prinzips von Hamilton in der Elastodynamik Riha, P., The Effect of a Magnetic Field on the Rotation of Magnetic Particles of Ferromagnetic Fluids SC Roesch, E.; Ohle, F.; Eckelmann, H.; Hübler, A., Modelle für transiente Zustände der Kármánschen Wirbelstraße und deren Anwendung zur Steuerung der Wirbelstraße Roesner, K. G., see Bar-Yoseph, P. Roesner, K. G., see Leutloff, D. Rohn, J., Real Eigenvalues of an Interval Matrix with Rank One Radius SL Rokicki, J., The Inverse Problem in the Multielement Airfoil Theory Rosemeier, G., Ein Schlüsselexperiment des Materie-Energie-Feldes SL Rothert, H., see Binder, B. Rothert, H., see Binder, B. Rothert, H., see Hamina, M. Rust, W., Mehrgitter-Verfahren für FE-Formulierungen geometrisch nichtlinearer Scheiben- und Plattenpro-	T712 T178 407 T451 T562 T401 T393

	page		page
Saranen, J., see Hamina, M.		Schulte, U., Modellierung von Getriebeschwingungen mit	
Schade, D., Übertragungsmatrizen für Torsion und Profil-			T168
	T231	Schwarz, H. R., Numerische Behandlung großer Matrizen	
Schäfer, E., see Eschenauer, H.			T504
Schaffrin, B.; Toutenburg, H., Weighted Mixid Regres-	T725	Schwierz, G., see Lovis, A.	
Sion SL	T735	Seisl, M., Eine numerische Untersuchung der gestörten	T101
Scherer, R., see Müller, M. Schiehlen, W., Modelling Analysis and Estimation of Vehi-		Sinus Gordon Gleichung SL Sichert, W., see Kuhn, G.	T121
cle Systems M4	T15	Siddiqui, A. M., see Moro, L.	
Schiehlen, W.; Wedig, W. (Organisatoren), Minisympo-		Silber, G., Darstellungen höherstufig-tensorwertiger iso-	
sium 4: Stochastic Systems in Mechanics M4	T12	troper Funktionen MA	381
Schiffner, K., Modifizierte Formfunktionen für isoparame-		Simeunović, D. M., On Some Estimaties of Approximate	
trische Elemente mit außermittigen Seitenzwischenkno-			T545
ten SL	T688	Siekmann, J.; Zimmermann, E., Untersuchungen über	
Schiffner, K.; Gräb, B., Bildung von finiten Elementen für	T601		T351
Bogensegmente mit Hilfe der Substrukturtechnik SL Schild, KH., see Bai, Yin	T691	Sikora, J., see Bogacz, R. Silber, G., Blut als nichtlokales Fluid SL	T368
Schlechtriem, S.; Ballmann, J., Wechselwirkungen von		Skerget, P.; Alujević, A.; Rek, Z.; Kuhn, G., Boundary	1 300
Vertikal- und Lateralböen mit Tragflügeln SL	T402	Element Method for General Viscous Flow Problems	
Schmalhorst, B., Berechnung des Schwingungsverhaltens			T713
angerissener Rotoren auf der Basis eines räumlichen		Sládek, J.; Sládek, V., Improved Computation of Thermal	
Finite-Elemente-Strukturmodells SL	T87	Stresses in Stationary Thermoelasticity Using Boundary	
Schmauder, S., Radial Stresses in Spherical Inhomogenei-	704	Elements	141
ties SC	594	Sládek, V., see Sládek, J.	
Schmidt, G., Zwangs- und parametererregte nichtlineare Schwingungen im Großen SL	T165	Sławik, L., Blow-up Phenomena for Nonlinear Parabolic Equations SL	T620
Schmidt, G.; Strese, H., A Direct BEM for Magnetic	1105	Equations SL Sobczyk, K., On the Stochastic Modelling and Analysis of	T630
Fields MA	439	Fatigue M4	T17
Schmidt, G., see Dum, R.		Socha, L., Equivalent Linearization for Dynamical Systems	
Schmidt, J. W., Monotone Data Smoothing by Quadratic			T738
Splines via Dualization MA	299	Sokol, P., see Hiller, M.	
Schmidt, L., see Munz, C. D.		Solan, A., see Bar-Yoseph, P.	
Schmidt, R.; Waller, H., Zur Anwendung von Zustands-	701.50		T171
betrachtern in der Strukturdynamik SL Schmidt. The Approximation of Markovian Damage Acqui	T158	Sorge, K., see Lachenmayr, G.	
Schmidt, Th., Approximation of Markovian Damage Accumulation Processes by Markov Chains for the Determi-		Sperling, L., see Ahlbehrendt, N. Staben, H., Periodische Bewegungen einer Zentrifuge mit	
nation of Failure Probabilities SL	T756		T125
Schmieder, L., Die Zurückführung der kinematischen	1,00	Stanisav, E., see Nastase, A.	1120
Gleichungen des starren Körpers auf eine einzige kom-		Steindl, A., Mehrfache Hopfverzweigung eines flüssigkeits-	
plexe Differentialgleichung SL	T181	durchströmten, elastisch gelagerten Schlauchs unter 0(2)-	
Schmitt, B. A., A Non-Rational Difference Scheme for			T128
Linear Stiff BVPs SL	T615	Steindl, A., see Xu, G.	
Schmitt, H.; Schneider, G. R., Einfluß des Bodens auf die		Stenger, M., Beschleunigung von Sedimentationsprozessen in strukturviskosen Flüssigkeiten SL	T383
Druckverteilung an einem umströmten Rotationsellip- soid SL	T404	Sterl, A., Numerische Simulation dreidimensionaler MHD-	1303
Schmitt, J., see Ismar, H.	1404		T395
Schmitt, U., see Ismar, H.		Sternecker, P.; Schönauer, W., Optimal Strategy for the	
Schmitt-v. Schubert, B., Schallwellen in Mischungen aus		Solution of Large FEM-Problems on Vector Computers	
Gasen und Tröpfchen SL	T424	SL	T604
Schnack, E., see Becker, I.		Stoffel, A., Application of Bloch Analysis to the Stability	
Schnack, E., see Carmine, R.		Investigation of Hamiltonian Systems of Linear Differen-	162
Schnack, E., see Iancu, G.		tial Equations with Periodic Coefficients MA Strauß, K., see Dohmann, J.	163
Schnack, E., see Karaosmanoglu, N. Schneider, G. R., see Schmitt, H.		Strese, H., see Schmidt, G.	
Schnerr, G. H.; Dohrmann, U., Beeinflussung von Pro-		Strukelj, A., see Umek, A.	
fileigenschaften durch Energiezufuhr in kompressiblen		Stummel, F., see Fleck, R.	
Strömungsmedien SL	T407	Stumpf, H.; Badur, J., On the Non-Abelian Mortor Calcu-	
Schnerr, G. H., see Zierep, J.		lus	551
Snitker, J.; Mausbach, P., Voronoi Polyhedra Analysis		Surla, K.; Uzelac, Z., On a Collocation Method for Singu-	20/5/
and Order-Disorder Transition of a Tetrahedrally Order-		larly Perturbed Problems SL	T656
ed Liquid SL	T266	Szenthe, J., see Rapcsák, T.	
Schönauer, W.; Weiss, R.; Gebhard, B., Singularity-		Szolc, T., see Bogacz, R.	
Adapted Difference Formulas on Body-Oriented Grids	T654	Tam, K. K.; Gum, T., An Aspect of Unstable Solution of	
Schönauer, W., see Sternecker, P.	1054	a Non-Linear Heat Equation SC	139
Schräpel, HD., Das klassische energetische Stabilitäts-		Tarnai, T., see Gáspár, Zs.	
kriterium der Elastostatik bei nichtkonservative Be-		Telega, J. J., see Gałka, A.	
lastung	T196	Teugels, J. L., Renewal Theory and Applications in Engi-	T512
Schreck, E., see Carmine, R.		neering PL Theill P: Gilbert P. The Use of MACSYMA for Solving	T513
Schreiber, L., Zum kinematischen Verfestigungswerhalten		Thejll, P.; Gilbert, P., The Use of MACSYMA for Solving Elliptic Boundary Value Problems MA	479
im Rahmen eines kombinierten Verfestigungsmodells für elastisch-plastische Materialien SL	T329	Theocaris, P. S., see Panyotounakos, D. E.	117
outside plastisene materialien	2041	and other to gove a unjetourine of the to	

	page		page
Thiele, F., see Wolter, D.		Wedig, W., Stability and Bifurcation in Stochastic Systems	
Thurner, G., see Ferstl, F.		SL	T19
Tichy, R. F., Random Points on the Spere with Application	T642	Wedig, W.; Karch, G., Invariante Maße und Lyapunov- zahlen für Oszillatoren mit Parameterfluktuationen	
to Numerical Analysis SL Todorovska-Ažievska, L., Yield Locus and Failure Lo-	T642	SL	T57
cus for Rectangular Section Tubes in Biaxial Bending		Weichert, D., see Giese, H.	
	T235	Weiss, R., see Schönauer, W.	
Tondl, A., Analyse eines durch Querströmung selbster-		Werner, B., see Küpper, T.	
regten Systems mit nichtlinearer Rückstellkraft und		Wesseling, P., Multigrid Methods in Computational Fluid	T227
Trockenreibung	T78		T337
Torggler, P.; Leubner, C., Implementation of Initial Conditions and Accuracy of Two-Scale Approximations to		Weyh, B., Näherungsweise Stabilitätsanalyse quasiperio- disch parametererregter Systeme SL	T173
a Class of Weakly Nonlinear Oscillations SC	467	Wiedermann, A., Zur aerodynamischen Auslegung der	1175
Toutenburg, H., see Schaffrin, B.	,		T471
Troger, H., see Küpper, T.		Wihstutz, V., Noise Induced Rotation MA	247
Troger, H., see Xu, G.		Wilmers, C., see Kleczka, M.	
Tsangaris, S.; Drikakis, D., Multigrid Scheme for the	TOCA	Windrich, H., Die Methode der zeitvarianten Linearisie-	247
Compressible Euler-Equations SL	T664	rung SC Wolfersdorf, L. v., On the Viscous Model Vorticity Equa-	347
Ulbrich, H. see Althaus, J.		tion SC	147
Ullrich, Ch. P., Neue Programmiersprachen für die Nume-		Wolfersdorf, L. v., see Heier, K.	,
	T519	Wolff von Gudenberg, J., Einsatz genauer Nullstellenver-	
Umek, A.; Strukelj, A., Green's Function for the Harmo-		fahren bei der Berechnung zweiseitig gekühlter Halb-	
	T218		T549
Unger, J., Existenzkarten natürlich belüfteter Hallen	T252	Wolter, D.; Thiele, F., Lineare Stabilitätsanalyse der	
Uzelac, Z., see Surla, K.	T353	Kreiszylinderumströmung auf der Grundlage der zweidimensionalen Stördifferentialgleichung SL	T452
O Zerac, Z., see Suria, K.		Wyrwa, J., see Bertram, A.	1752
Vanderbauwhede, A., see Küpper, T.		, 1, 555 2533333, 55	
Verspohl, J., Periodenverdoppelung bei einem Schwinger		Xu, G.; Steindl, A.; Troger, H., Globales Verzweigungs-	
	T130		T133
Vlachakis, N. W.; Kioussis, E. K., Zweiphasiger Charak-			
ter zweidimensionaler Blutströmungen von Fluidkristall-	240	Zamirowski, M., see Nathke, H. G.	
modellen mit Eigenrotationsvermögen SC Voronjec, D., see Čantrak, S.	349	Zastrau, B., see Nackenhorst, U.	
Vrdoljak, B., Positive Radial Solutions of Certain Nonlin-		Zdebel, U., see Gupta, N. K.	
	T632	Zelewski, M., see Bertram, A.	
		Zeytounian, R. H., see Godts, S.	
Wadepuhl, M., see Beyn, WJ.		Zhang, Shouzhu, Fractal Dimension and Fracture Toughness SC	530
Wagner, W., Zur Berechnung von achsensymmetrischen	T(0.4	ness SC Zheng, Q., Dellnitz, M., Schwingungen eines Ringoszilla-	530
Schalen mit endlichen Drehungen SL Waller, H., see Schmidt, R.	T694	tors – eine numerische Behandlung unter Berücksichti-	
Walter, W., FORTRAN 66, 77, 88, -SC – Ein Vergleich		gung der Symmetrie SL	T135
der numerischen Eigenschaften von FORTRAN 88 und		Zhu, J., The Boundary Integral Equation Method for In-	
	T584	compressible Viscous Flows with Slip Boundary Condi-	
Wang, C. Y., Shear Flow over Convection Cells – on Exact			T717
Solution of the Navier-Stokes Equation SC	351	Ziegler, F.; Pao, YH., Die Phasenfunktion kugeliger Wellen in der keilförmigen Oberflächenschicht	тэээ
Wang, Y. Q., see Herrmann, K. P. Waniewski, M., see Betten, J.		Zierep, J.; Schnerr, G., Der gerade anliegende Stoß an der	T222
Wassmuth, E., see Lückel, J.			T409
Wassum, P., Approximative Basistransformation von Spli-		Zierep, J., see Bühler, K.	
neflächen SL	T570	Zimmermann, E., see Siekmann, J.	
Wauer, J., Modalanalysis für das 1-dimensionale Thermo-		Zlatanovski, T., Numerische Lösung des Torsionspro-	
schockproblem einer elastischen Schicht endlicher Dicke	T-70	blems bei Verbundstäben mit Hilfe von Randintegral-	T-707
SL	T70	gleichungen SL	T727
Book Reviews			
DOOK REVIEWS			
	page		page
Abraham, R.; Marsden, J. E.; Ratiu, T., Manifolds, Ten-		Antes, H., Anwendungen der Methode der Randelemente	
sor Analysis, and Applications (Sulanke)	355	in der Elastomechanik und der Fluiddynamik	
Adomian, G., Nonlinear Stochastic Systems Theory and Applications to Physics (Lange)	240	(Meltzer)	76
Afflerbach, L., Statistik-Praktikum mit dem PC	340	Aravena, J. L., see Porter, W. A.	
(Läuter)	48	Arbocz, J., see Elishakoff, I. Arnold, V. I., see Anosov, D. V.	
Agarwal, R. P.; Chow, Y. M.; Wilson, S. J. (eds.), Nume-	10	777.75.53, 77.13, 500 71110507, 207.77	
rical Mathematics, Singapore 1988 (Roos)	149	Babcock jr., C. D., see Elishakoff, I.	
Anosov, D. V.; Arnold, V. I. (eds.), Dynamical Systems. I.		Barnett, St., see Tsay, Y. T.	
(Möbius)	128	Baruk, St., Wie alt ist der Kapitän? (Englisch)	380

	page		page
Baschek, B., see Unsöld, A.		Franke, H. W.; Helbig, H., Die Welt der Mathematik	1
Beltzer, A. I., Acoustics of Solids (Kluge)	380	(Steigenberger)	394
Bennett, R. C., Macrosammlung WordPerfect		Fredriksson, B., see Mackerle, J.	271
(Grund) van den Berg, B.; Humphreys, D. A.; Krause, E.; Lindhorst, J. P. F., Three-Dimensional Turbulent Boundary	75	Freudenberg, J. S.; Looze, D. P., Frequency Domain Properties of Scalar and Multivariable Feedback Systems (Wilfert)	77
Layers (Hoffmeister) Bertin, J. J.; Glowinsky, R.; Periaux, J. (eds.), Hyperso-	456	Gajewski, A.; Zyczkowski, M., Optimal Structural De-	,,
nics (Förste) Bers, L. (ed.), Charles Loewer. Collected Papers.	556	sign under Stability Constraints (Gläser) Garrido, L. (ed.), Far from Equilibrium Phase Transitions	77
(Riedrich)	22	(Engel)	380
Bertram, A.; Nasseri, S. M.; Sievert, R. (Hrsg.), Mechanik — Beiträge zu Theorie und Anwendungen (Michel)	409	Glowinsky, R., see Bertin, J. J. Göckel, H., WordPerfect (Grund) Göckel, H., WordPerfect Library (Grund)	22 209
Biermann, KR., Die Mathematik und ihre Dozenten an der Berliner Universität. 1810–1933 (Pieper)	78	Göckel, H., WordPerfect Library (Grund) Gross, D., see Hauger, W.	209
Borkowski, A., Analysis of Skeletal Structural Systems in the Elastic and Elastic-Plastic Range		Hackbusch, W. (ed.), Robust Multi-Grid Methods (Wilke)	149
Bourne, D. E.; Kendall, P. C., Vektoranalysis	340	Hagedorn, P., Aufgabensammlung Technische Mechanik (Göldner)	34
(Schneider) Braß, H.; Hämmerlin, G. (eds.), Numerical Integration III (Zielas)	74 75	Hämmerlin, G., see Braß, H. Haslinger, J.; Neittaanmäki, P., Finite Element Approximation for Optimal Shape Design	
Breidert, W., George Berkeley 1685-1753	13	(Tröltzsch)	314
(Thiele) Bremer, H., Dynamik und Regelung mechanischer Systeme	254	Hauger, W.; Gross, D.; Schnell, W., Technische Mechanik. Bd. 3 (Schmidt)	409
(Maißer)	264	Helbig, H., see Franke, H. W.	
Brod, K., see Plaschko, P.		Hermann, A., Lexikon Geschichte der Physik A-Z	004
Brousse, P., Optimization in Mechanics: Problems and Methods (<i>Tichatschke</i>)	150	(Ullmann) Heuser, H., Gewöhnliche Differentialgleichungen	254
Calladine, C. R., Theory of Shell Structures		(Schmidt) Hirschel, E. H. (ed.), Finite Approximation in Fluid Me-	308
Chow, Y. M., see Agarwal, R. P.	464	chanics (Diersch) Hofbauer, J.; Sigmund, K., The Theory of Evolution and	473
Coelho, H.; Cotta, J. C., Prolog by Example (Langmach)	209	Dynamical Systems (Peschel) Humphreys, D. A., see van den Berg	138
Coles, D., Perspectives in Fluid Mechanics	188	Ibach, H.; Lüth, H., Festkörperphysik	
(Förste) Constantin, P.; Foias, C.; Nicolaenko, B.; Te-	100	(Aus dem Text des Werbezettels)	209
mam, R., Integral Manifolds for Dissipative Partial Differential Equations (Zacharias)	314	Iooss, G., see Szemplińska-Stupnicka, W. Isermann, R., Identifikation dynamischer Systeme. Bd. 1	207
Cotta, J. C., see Coelho, H.		u. 2 (Meltzer)	308
Cutland, N., Nonstandard Analysis and its Applications (Tuschik)	208	Jenkins, J. T., see Satake, M.	
(- 112-11-1)		Johnson, R. S., see Drazin, P. G.	
Davies, P. (ed.), The New Physics (Ebeling) Davis, J. L., Wave Propagation in Solids and Fluids	550	Jungnickel, D., Graphen, Netzwerke und Algorithmen (Wessel)	138
(v. Wolfersdorf) Day, R. A., How to Write and Publish a Scientific Paper	473	Kachanov, L. M., Delamination Buckling of Composite Materials (Michel)	138
(Ullmann) Desoyer, K.; Kopacek, P.; Girsule, N.; Probst, R.,	340	Kak, S. C., see Porter, W. A. Keller, H. B., Numerical Methods in Bifurcation Problems	
Mechanik auf dem Bildschirm – mit dem C64	20	(Schneider)	188
Dillmann, R., Lernende Roboter (Loose)	76 474	Kendall, P. C., see Bourne, D. E.	
Drazin, P. G.; Johnson, R. S., Solitons: an Introduction		Kerf, F. de, Asymptotic Analysis of a Chaos of Perturbed Korteweg-de Vries Initial Value Problems (Steudel)	76
(Steudel)	340	Kießling, I.; Lowes, M.; Paulik, A., Genaue Rechner-	
Durão, D. F. G.; Whitelaw, J. H.; Witze, P. O., Instrumentation for Combustion and Flow in Engines	254	arithmetik (Oelschlägel) Koch, BP., see Leven, R. W.	188
(Hoffmeister)	254	Koh, S. L.; Speziale, C. G. (eds.), Recent Advances in	172
Elishakoff, I.; Arbocz, J.; Babcock jr., C. D.; Libai, A.		Engineering Science (Michel) Koosis, P., The Logarithmic Integral. I. (Tasche)	473 355
(eds.), Buckling of Structures — Theory and Experiment	120	Krause, E., see van den Berg, B.	555
(Michel) Engquist, B.; Luskin, M.; Majda, A. (eds.), Computatio-	128	Kredel, L. (Hrsg.), Computergestütztes Publizieren im praktischen Einsatz (Aus dem Vorwort)	48
nal Fluid Dynamics and Reacting Gas Flows (Diersch)	464	Kulisch, U.; Stetter, H. J. (eds.), Scientific Computation with Automatic Result Verification (Schipke)	410
		Kunick, A., Einführung in die Programmiersprache ADA mit Übungsaufgaben und Lösungen (Loeper)	150
Flannery, B. P., see Press, W. H.		Kunz, E., see Schade, H.	100
Fletcher, C. A. J., Computational Techniques for Fluid Dynamics. Vol. I (Diersch)	409	Lagerstrom, P. A., Matched Asymptotic Expansions	
Foins C and Constantin D		(Lanckau)	264

	page		page
Lauber, R., Prozeßautomatisierung. Bd. 1 (Völz)	370	Sawczuk, A., Mechanics and Plasticity of Structures	
Leven, R. W.; Koch, BP.; Pompe, B., Chaos in dissipa-		(Bergander)	588
tiven Systemen (Troger)	409	Schade, H.; Kunz, E., Strömungslehre (Schindler)	394
Libai, A., see Elishakoff, I.		Scheck, F. A., Mechanik (Maißer)	370
Lindhout, J. P. F., see van den Berg, B.		Schefe, P., Informatik – eine konstruktive Einführung	156
Litvinchuk, G. S.; Spitkovskii, I. M., Factorization of	224	(Hebermehl)	456
Measurable Matrix Functions (Meister)	234	Schnell, W., see Hauger, W.	
Lochak, P.; Meunier, C., Multiphase Averaging for Clas-	456	Schultz, M. (ed.), Numerical Algorithms for Modern Par- allel Computer Architectures (<i>Lippold</i>)	308
sical Systems (Schneider)	430	Schwarz, H. R., FORTRAN-Programme zur Methode der	300
Looze, D. P., see Freudenberg, J. S. Louis, A. K., Inverse und schlecht gestellte Probleme		finiten Elemente (Tobiska)	34
(Förste)	409	Schwarz, H. R., Methode der finiten Elemente (Tobiska)	34
Lowes, M., see Kießling, I.	707	Schweitzer, G. (ed.), Magnetik Bearings (Simek/Tondl)	588
Luskin, M., see Engquist, B.		Selvadurai, A. P. S. (ed.), Developments in Engineering	200
Lüth, H., see Ibach, H.		Mechanics (Günther)	324
ar motal, and over a control of the		Sever, M., Ordinary Differential Equations	
Mackerle, J.; Fredriksson, B., Handbook of Finite Ele-		(Model)	370
ment Software (Michel)	208	Sexl, R. U.; Urbantke, H. K., Gravitation und Kosmolo-	
Majda, A., see Engquist, B.		gie (Stephani)	128
Marsden, J. E., see Abraham, R.		Shieh, LS., see Tsay, Y. T.	
Meunier, C., see Lochak, P.		Sibirsky, K. S., Introduction to the Algebraic Theory of	
Moon, F. C., see Szemplińska-Stupnicka, W.		Invariants of Differential Equations (Kern)	149
Moreau, J. J.; Panagiotopoulos, P. D., Nonsmooth Me-		Sievert, R., see Bertram, A.	
chanics and Applications (Langenbach)	472	Sigmund, K., see Hofbauer, J.	
Moser, U., OPEN ACCESS II (Grund)	75	Speziale, C. G., see Koh, S. L.	
Müller, D., LISP (Grund)	22	Spitkovskii, I. M., see Litvinchuk, G. S.	
Müller, W., Theoretische Untersuchungen von Variations-		Stein, E.; Wendland, L. (eds.), Finite Element and Bound-	
prinzipien für elasto-plastisches Materialverhalten sowie		ary Element Techniques from Mathematical to En-	171
Entwicklung und numerische Erprobung von Finite-		gineering Point of View (Michel)	474
Element-Verfahren für den ebenen Spannungszustand	314	Stetter, H. J., see Kulisch, U. Szemplińska-Stupnicka, W.; Iooss, G.; Moon, F. C.,	
(Michel) Murai, T., A Real Variable Method for the Cauchy Trans-	314	Chaotic Motions in Nonlinear Dynamical Systems	
form, and Analytic Capacity (Wildenhain)	75	(Schmidt)	74
iorni, and rinarytic Capacity ("rinermain")	75	(Schillar)	7-3
Nasseri, S. M., see Bertram, A.		Temam, R., see Constantin, P.	
Neittaanmäki, P., see Haslinger, J.		Teukolsky, S. A., see Press, W. H.	
Nicolaenko, B., see Constantin, P.		Thirring, W., Lehrbuch der Mathematischen Physik. Bd. 1	
Novak, E., Deterministic and Stochastic Error Bounds		(Aus dem Vorwort zur 2. Auflage)	76
(Wagner)	380	Thoft-Christensen, P. (ed.), Reliability and Optimization	
		of Structural Systems (Friedrich)	73
Ozorio de Almeida, A. M., Hamiltonian Systems	5.50	Trinkaus, H. L., Probleme? – Höhere Mathematik!	
(Wallis)	550	(Scholz)	74
Panagiotopoulos, P. D., see Moreau, J. J.		Tsay, Y. T.; Shieh, L. S.; Barnett, St., Structural Analysis	
Papalambros, P. P.; Wilde, D. J., Principles of Optimal		and Design of Multivariable Control Systems	7.5
Design (Tichatschke)	151	(Reinschke)	75
Paulik, A., see Kießling, I.	151	Turbulent Shear Flows 6 (Hoffmeister)	550
Pavel, N. H., Nonlinear Evolution Operators and Semi-		Unsöld, A.; Baschek, B., Der neue Kosmos	
groups (Tasche)	48	(Ullmann)	209
Periaux, J., see Bertin, J. J.		Urbantke, H. K., see Sexl, R. U.	
Pfeiffer, F., Einführung in die Dynamik (Schmidt)	324		
Plaschko, P.; Brod, K., Höhere mathematische Methoden		Vetterling, W. T., see Press, W. H.	
für Ingenieure und Physiker (Schmidt)	324	Vinson, J. R., The Behavior of Thin Walled Structures	
Polishchuk, E. M., Continual Means and Boundary Value		(Scherzer)	588
Problems in Function Spaces (Schmalfuß)	208	Volck, R., Software Engineering mit UNIX-Workstations	
Pompe, B., see Leven, R. W.		(Voigt)	556
Porter, W. A.; Kak, S. C.; Aravena, J. L. (eds.), Advances		Washalan I (al) On Antholisa in Colomos	
in Computing and Control (Preface)	474	Wechsler, J. (ed.), On Aesthetics in Science (Englisch)	204
Press, W. H.; Flannery, B. P.; Teukolsky, S. A.; Vetterling, W. T., Numerical Recipes in C		Wendland, L., see Stein, E.	394
(Grund)	48	Whitelaw, J. H., see Durão, D. F. G.	
Priest, J. W., Engineering Design for Producibility and	40	Whittaker, E. T., A Treatise on the Analytical Dynamics	
Reliability (Beichelt)	150	of Particles and Rigid Bodies (Thiele)	78
(2000)	150	Wilde, D. J., see Papalambros, P. P.	
Ratiu, T., see Abraham, R.		Wilson, S. J., see Agarwal, R. P.	
Ratschek, H.; Rokne, J., New Computer Methods for		Witze, P. O., see Durão, D. F. G.	
Global Optimization (Oelschlägel)	150	Wünsche, HJ., Bewegungssteuerung durch Rechnersehen	
Rohwer, K., Improved Transverse Shear Stiffnesses for		(Ueckerdt)	556
Layered Finite Elements (Tobiska)	22	37 37 4 7 1 1 1 1 7 7 7 7 7 7 7 7 7 7 7 7 7	
Rokne, J., see Ratschek, H.		Young, N., An Introduction to Hilbert Space	24
Satake, M.; Jenkins, J. T. (eds.), Micromechanics of Gra-		(v. Wolfersdorf)	74
nular Materials (Michel)	151	Zyczkowski, M., see Gajewski, A.	

Marginalia

CISM Courses in 1990 CISM Programme in 1991 Dynamische Probleme — Modellierung und Wirklichkeit EUROMECH Meetings 1991 GAMM-Tagung 1990 Huygens' Principle 1690—1990: Theory and Applications	page 212 596 294 476 79	Obituary. In memoriam Heinz Neuber Third European Conference on Multigrid Methods 13th IMACS World Congress on Computation and Applied Mathematics. July 22–26, 1991 XII. Internationaler Kongreß über Anwendungen der Ma-	152
Huygens Principle 1690—1990: Theory and Applications	294	thematik in den Ingenieurwissenschaften	80



